

# Initiation à la matière quantique

## *Introduction*

### – Cours 11 –

Isolants topologiques 2D et correspondance  
volume-bord – *systemes avec symétrie par  
renversement du temps*

*(chapitre 4 des notes de cours)*

# Théorème de Kramers pour les électrons dans des bandes

Symétrie par renversement du temps dans des bandes d'énergie :

$$THT^{-1} = H \quad \Rightarrow \quad E_{n,\uparrow}(\mathbf{k}) = E_{n,\downarrow}(-\mathbf{k})$$

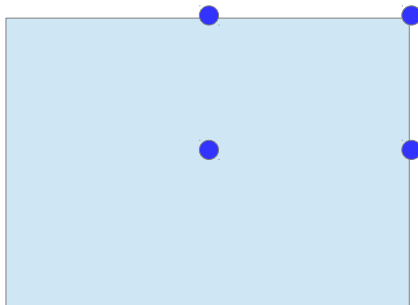
Théorème de Kramers : double dégénérescence quand

$$\mathbf{k} = -\mathbf{k} + \mathbf{G}$$

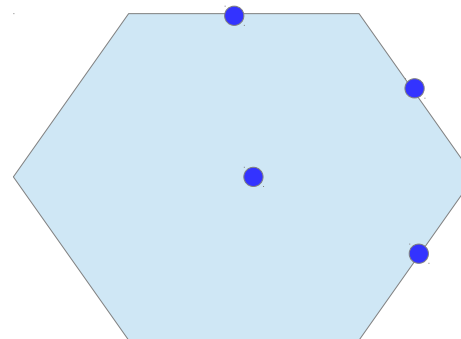
...modulo un vecteur du réseau réciproque

→ impulsions invariantes par renversement du temps :  $\mathbf{G}/2$

exemples (zones de Brillouin) :

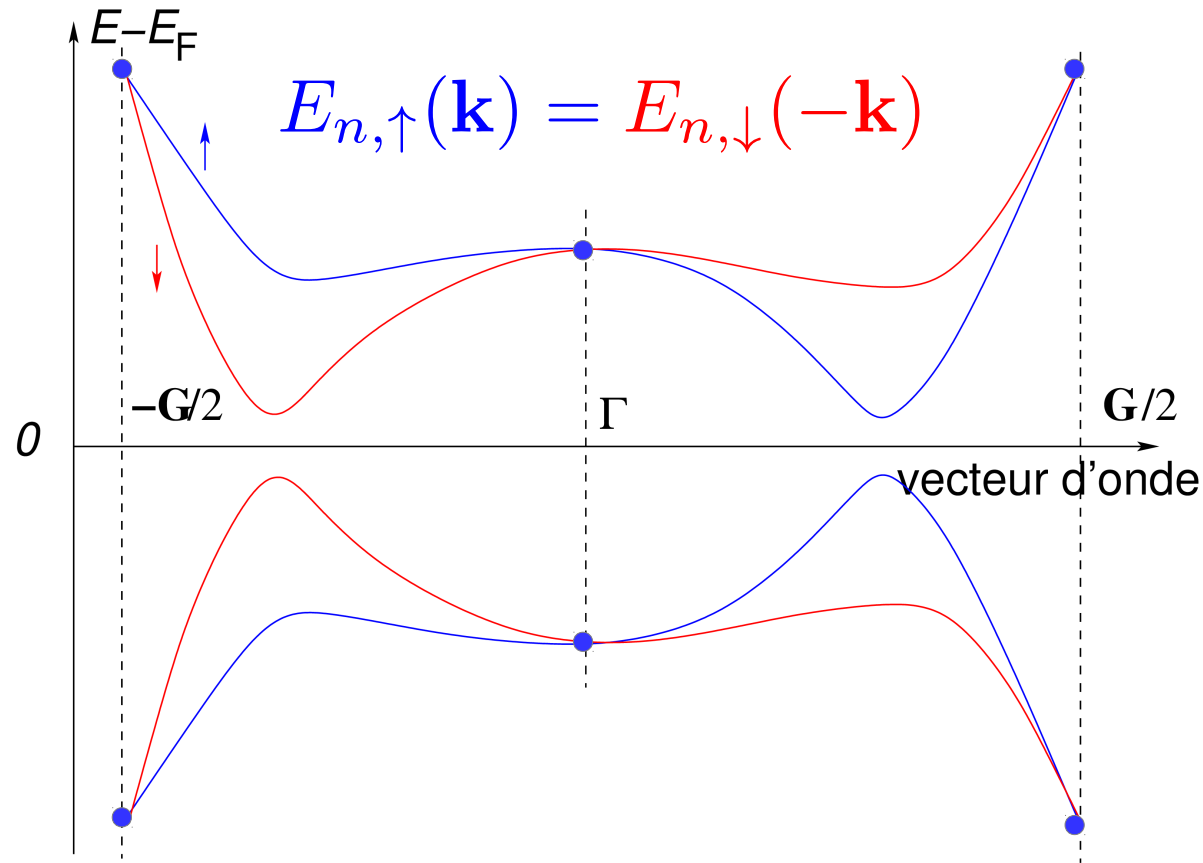


réseau rectangulaire



réseau triangulaire

# Théorème de Kramers pour les électrons dans des bandes



N.B. : ce type de structure de bande nécessite un ***couplage spin-orbite***

→ modèles de liaisons fortes sans sauts dépendant du temps

$$E_{n,\uparrow}(\mathbf{k}) = E_{n,\downarrow}(\mathbf{k}) = E_{n,\uparrow}(-\mathbf{k}) = E_{n,\downarrow}(-\mathbf{k})$$

# Courbure de Berry pour des systèmes respectant la symétrie par renversement du temps

→ *antisymétrie de la courbure de Berry* :  $\mathcal{B}_n^\sigma(\mathbf{k}) = i\epsilon^{\sigma\mu\nu} \langle \partial_{k_\mu} u_n | \partial_{k_\nu} u_n \rangle$

1) “fermions sans spin”  $T|u(\mathbf{k})\rangle = |u(-\mathbf{k})\rangle = |u(\mathbf{k})\rangle^*$

$$\mathcal{B}_\lambda(-\mathbf{k}) = -\mathcal{B}_\lambda(\mathbf{k})$$

2) “fermions avec spin”  $T|u_\sigma(\mathbf{k})\rangle = |u_{-\sigma}(-\mathbf{k})\rangle$  avec  $T^2 = -1$

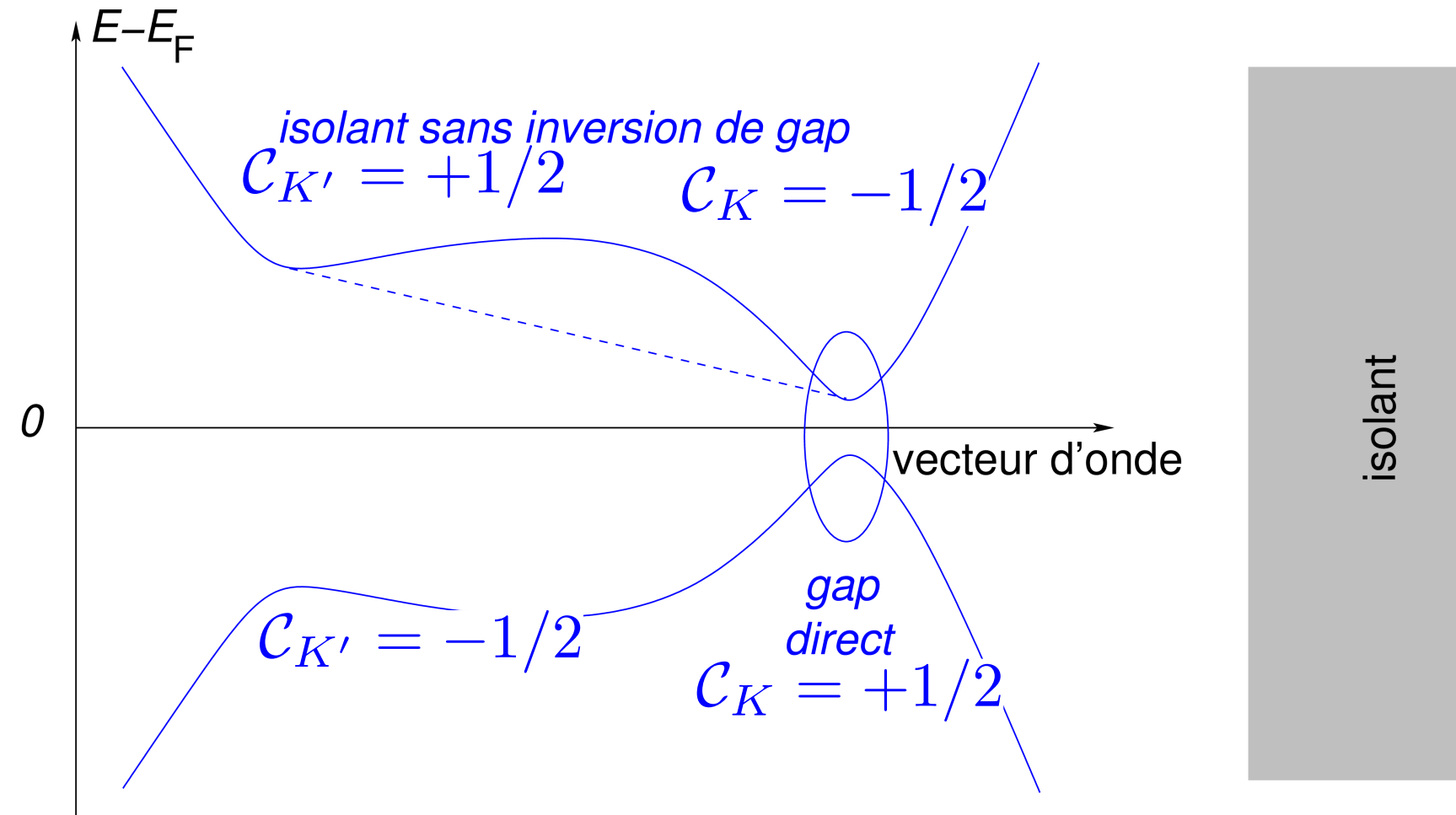
$$\mathcal{B}_\lambda^{-\sigma}(-\mathbf{k}) = -\mathcal{B}_\lambda^\sigma(\mathbf{k})$$

→ *dans les deux cas* :  $\mathcal{C}_\lambda = 0$

# Bandes sans symétrie par renversement du temps – modèle de Haldane



Haldane (1988)



Symétrie par renversement du temps brisée :  $E(\mathbf{k}) \neq E(-\mathbf{k})$

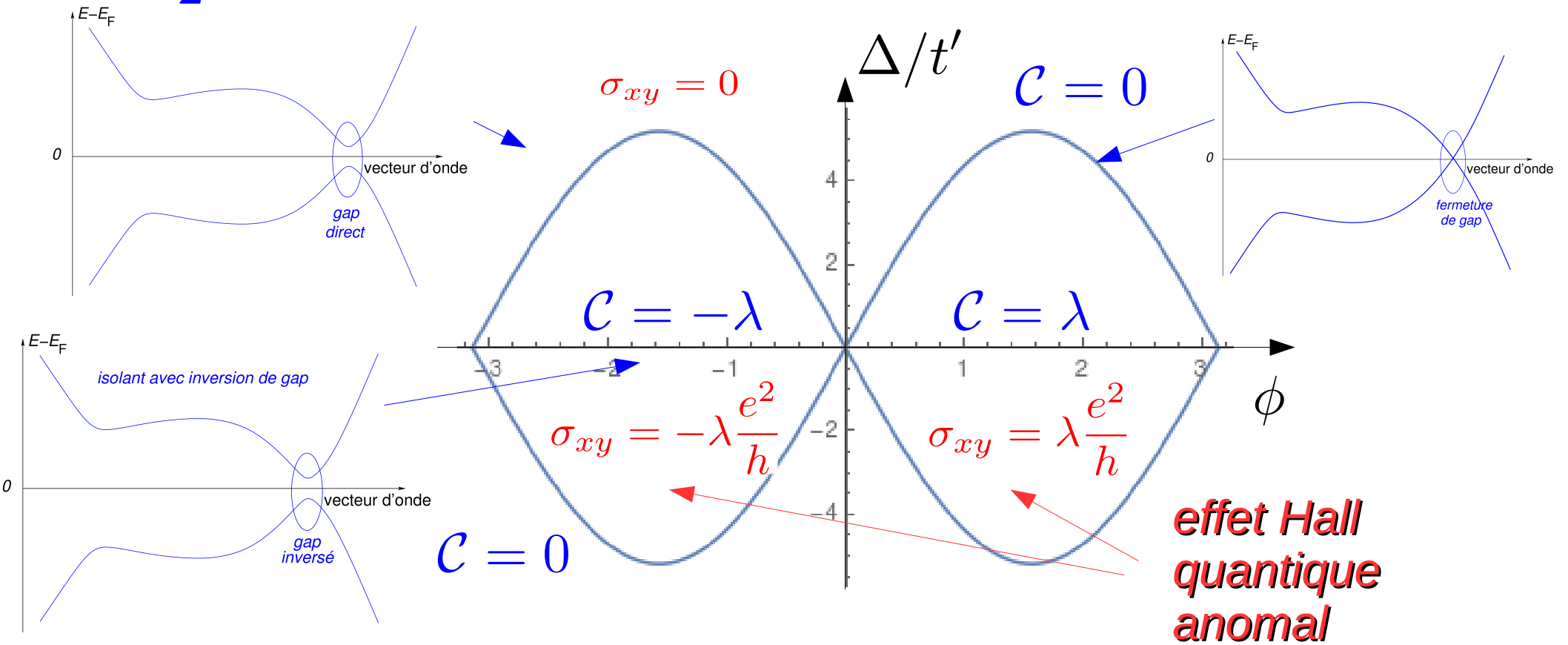
***modifier les points de Dirac individuellement***

# Modèle de Haldane (1988)

[Haldane, Phys. Rev. Lett. (1988)]

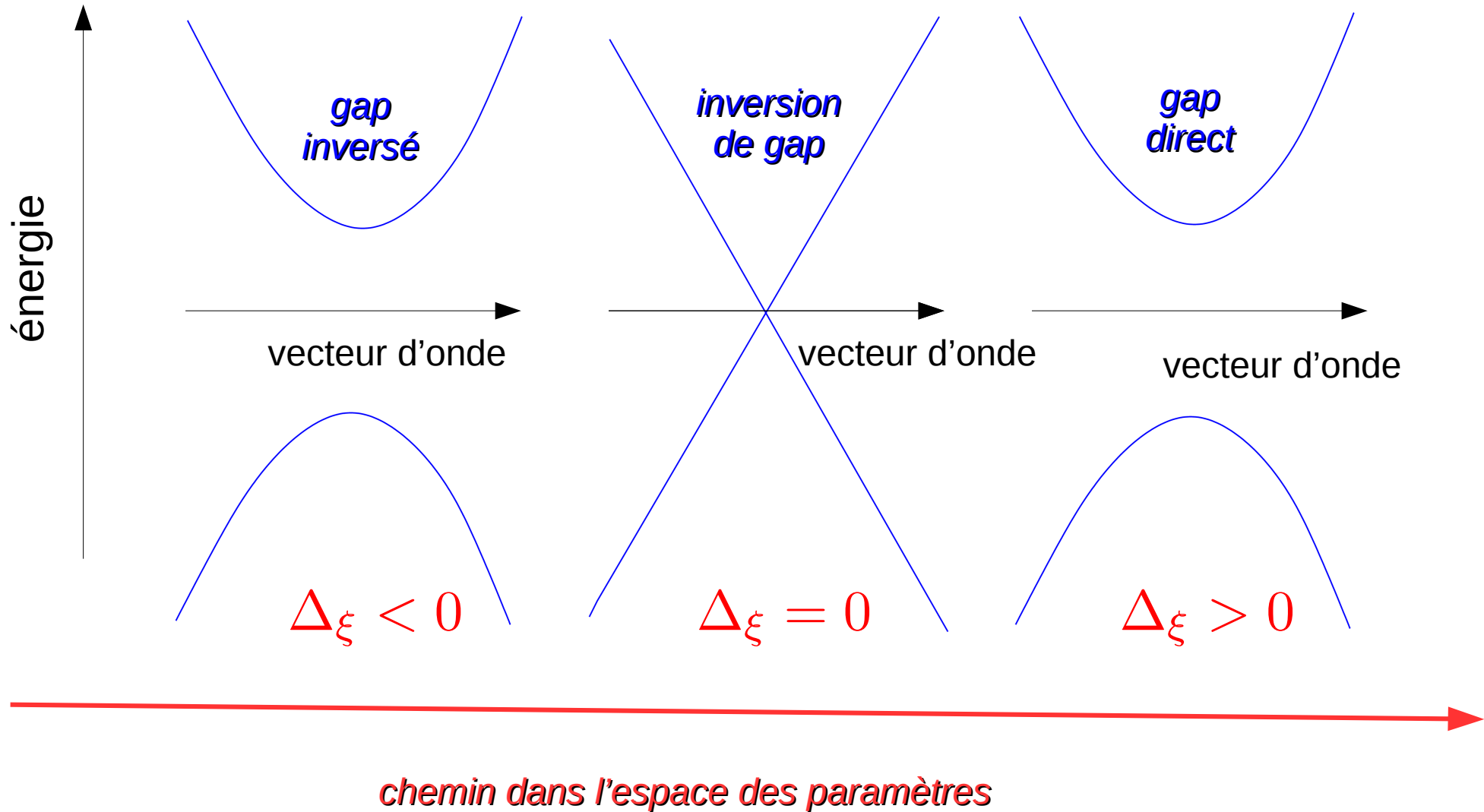
Rappel : nombre de Chern = somme des contributions des deux points de Dirac

$$C = -\frac{1}{2}\lambda[\text{sgn}(m_K) - \text{sgn}(m_{K'})] \quad \text{où} \quad m_\xi v^2 = \Delta - \xi 3\sqrt{3}t' \sin(\phi)$$



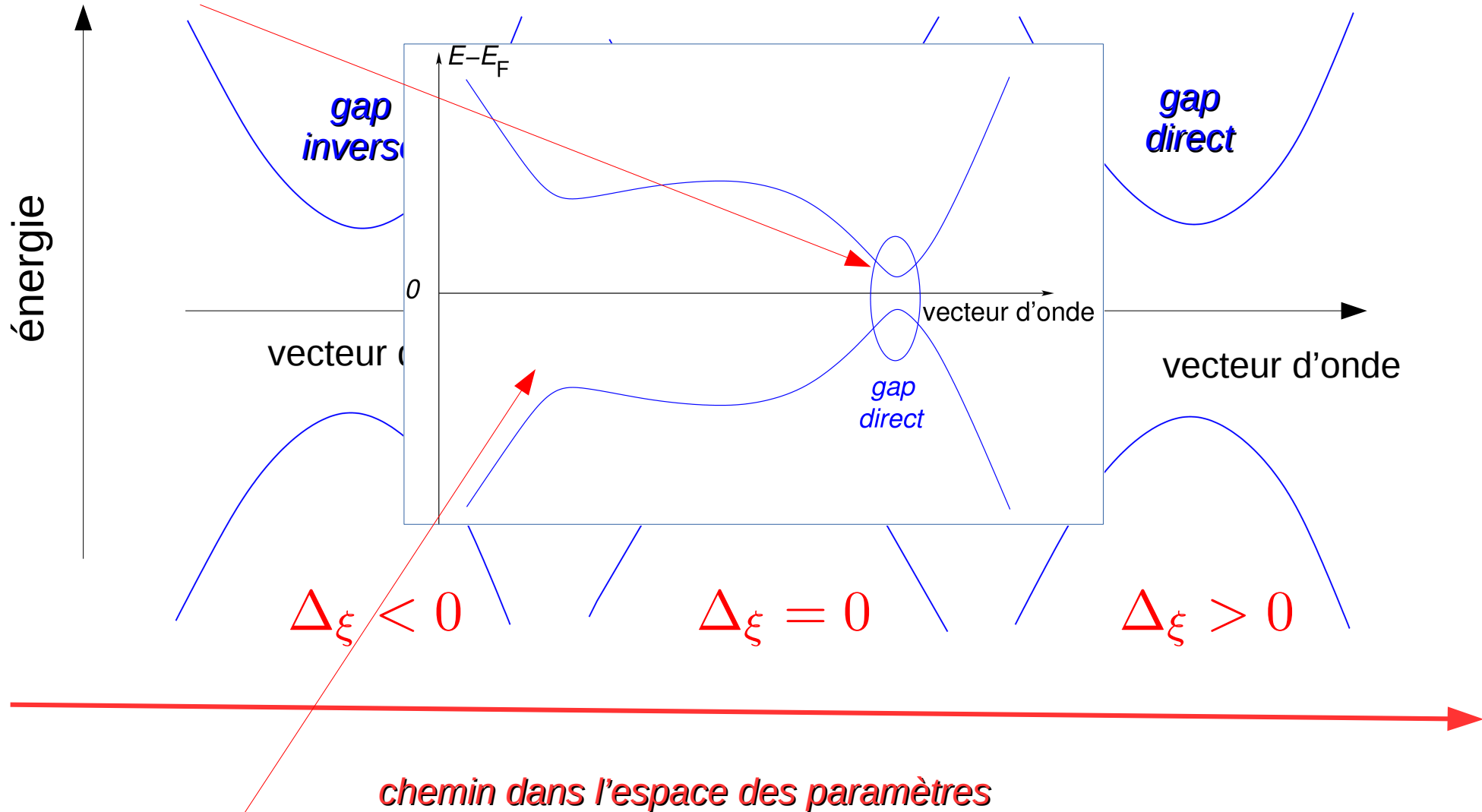
# Transition de phase topologique

*vallée "active" :*



# Transition de phase topologique

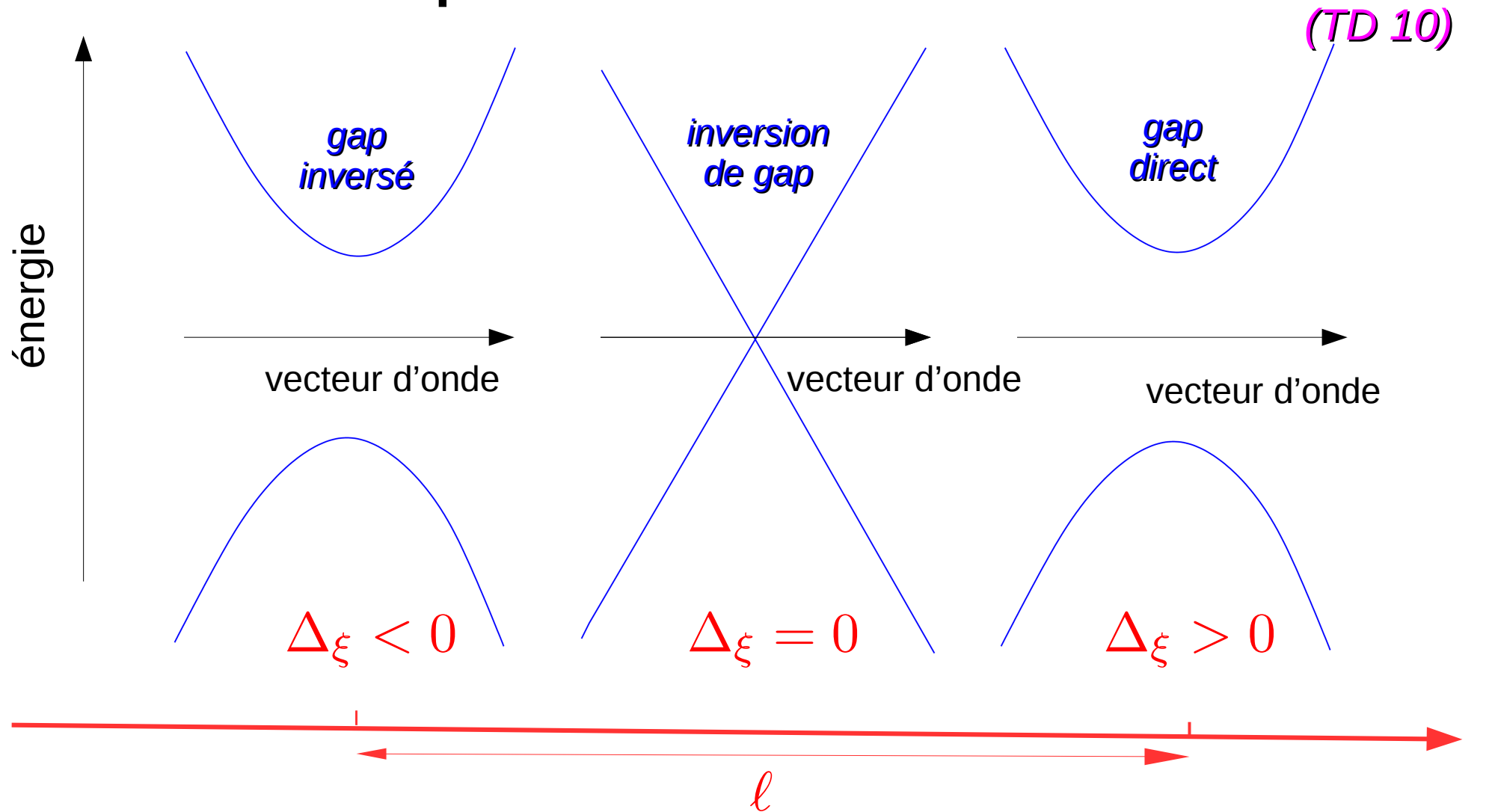
*vallée "active" :*



*vallée "spectatrice" :*  $\Delta_{-\xi} > 0$  (lors de la transition)



# Transition de phase topologique – correspondance volume-bord



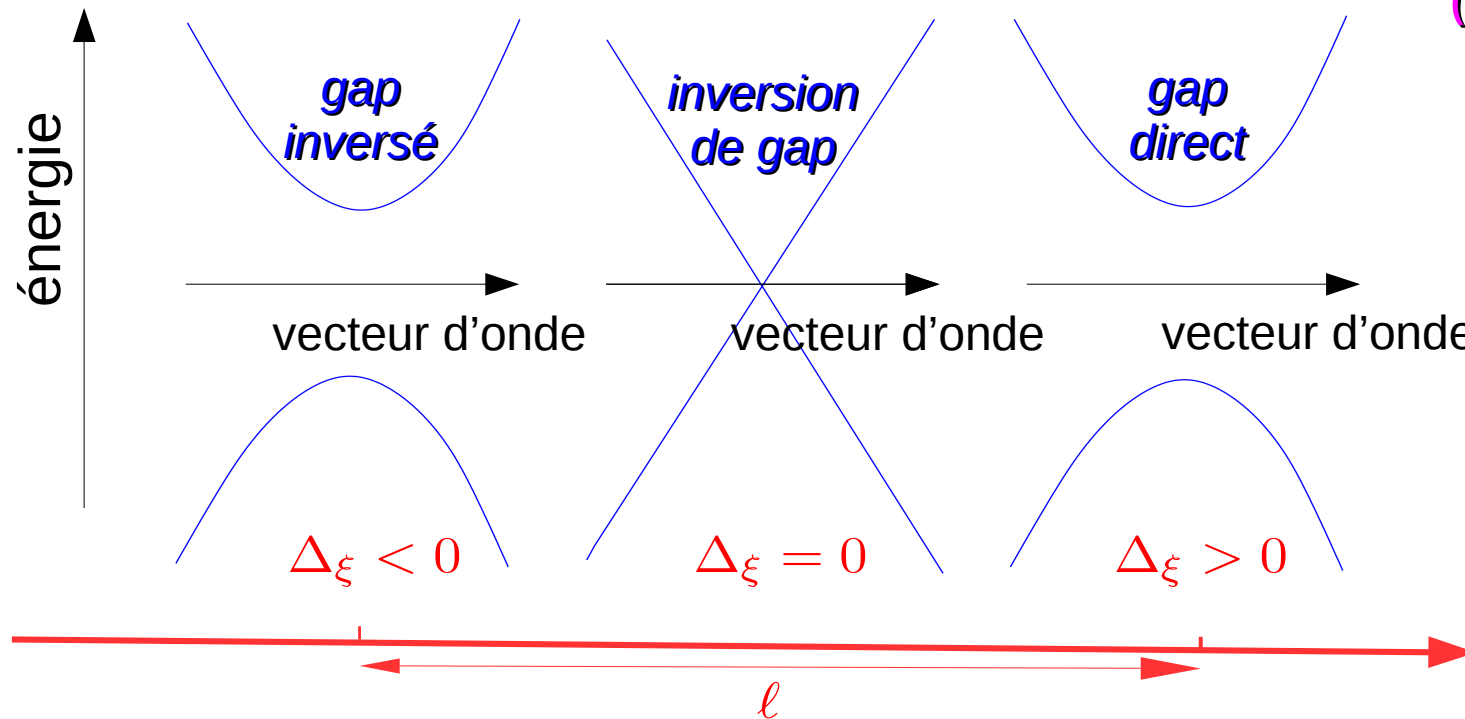
*chemin dans l'espace des paramètres*

*~ changement du paramètre à une interface de largeur  $\ell$*

$$\Delta_\xi \rightarrow \Delta_\xi(x/\ell)$$

# Transition de phase topologique – correspondance volume-bord

(TD, exo 1)



1.1)

$$H = \begin{pmatrix} \Delta(x/\ell) & \hbar v(\xi q_x - i q_y) \\ \hbar v(\xi q_x + i q_y) & -\Delta(x/\ell) \end{pmatrix}$$

*Hamiltonien décrivant seulement la vallée où le gap change de signe*

# Modèle 2D d'une interface graduée (*hétérojunction topologique*)

1.2)

Transformation unitaire :  $U = \exp(i\pi\sigma_x/4)$

$$\sigma_z \rightarrow -\sigma_y, \quad \sigma_y \rightarrow \sigma_z$$

$$H' = \begin{pmatrix} \hbar v q_y & \xi \hbar v q_x + i\Delta(\frac{x}{\ell}) \\ \xi \hbar v q_x - i\Delta(\frac{x}{\ell}) & -\hbar v q_y \end{pmatrix}$$

Quelle sera l'allure du spectre ?

mécanique quantique :  $[x, q_x] = i$

→ quantification du mouvement selon  $x$

→ famille de **bandes 1D** :  $E_n(q_y)$

# Modèle 2D d'une interface graduée (*hétérojunction topologique*)

1.2)

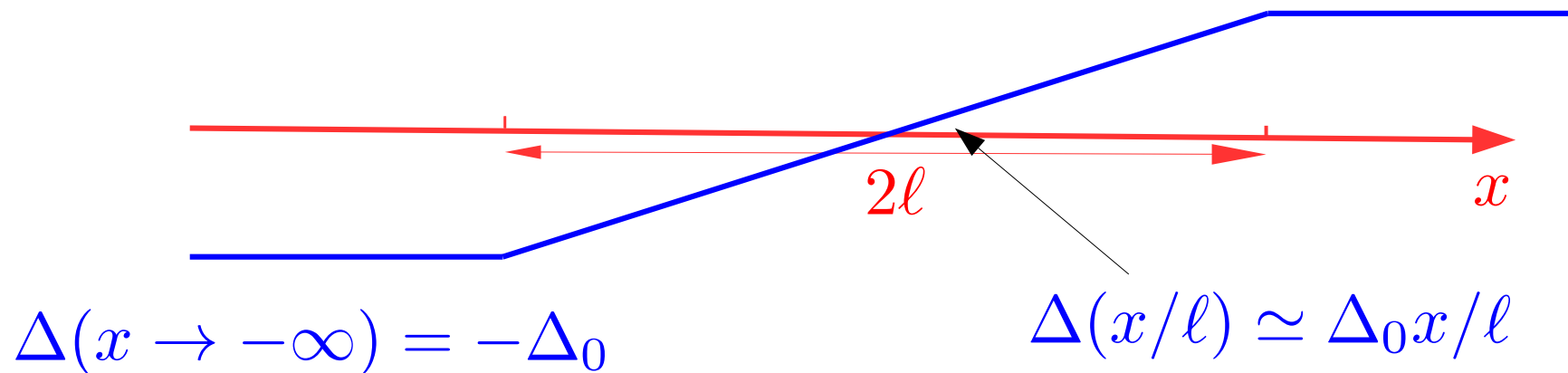
Transformation unitaire :  $U = \exp(i\pi\sigma_x/4)$

$$\sigma_z \rightarrow -\sigma_y, \quad \sigma_y \rightarrow \sigma_z$$

$$H' = \begin{pmatrix} \hbar v q_y & \xi \hbar v q_x + i\Delta_0 \frac{x}{\ell} \\ \xi \hbar v q_x - i\Delta_0 \frac{x}{\ell} & -\hbar v q_y \end{pmatrix}$$

1.3)

Simplification (*linéarisation* de la fonction du gap) :  $\Delta(x \rightarrow \infty) = \Delta_0$



# Modèle 2D d'une interface graduée (*hétérojunction topologique*)

1.2)

Transformation unitaire :  $U = \exp(i\pi\sigma_x/4)$

$$\sigma_z \rightarrow -\sigma_y, \quad \sigma_y \rightarrow \sigma_z$$

1.3)

$$H' = \begin{pmatrix} \hbar v q_y & \xi \hbar v q_x + i\Delta_0 \frac{x}{\ell} \\ \xi \hbar v q_x - i\Delta_0 \frac{x}{\ell} & -\hbar v q_y \end{pmatrix}$$

→ *fermions de Dirac 2D dans un champ magnétique avec un “gap”*

$$\hbar v q_y$$

1.4)

→ longueurs caractéristiques :

$$\lambda_C^{-1} = \frac{\Delta_0}{\hbar v}$$

*longueur intrinsèque*

$$\xi \hbar v \left( q_x + i\xi \frac{\Delta_0}{\hbar v} \frac{x}{\ell} \right)$$

# États de bord

1.5)

$$E_{n=0}(q_y) = \xi \hbar v q_y$$

$$E_{\lambda, n \neq 0}(q_y) = \lambda \hbar v \sqrt{q_y^2 + 2n/\ell_S^2}$$

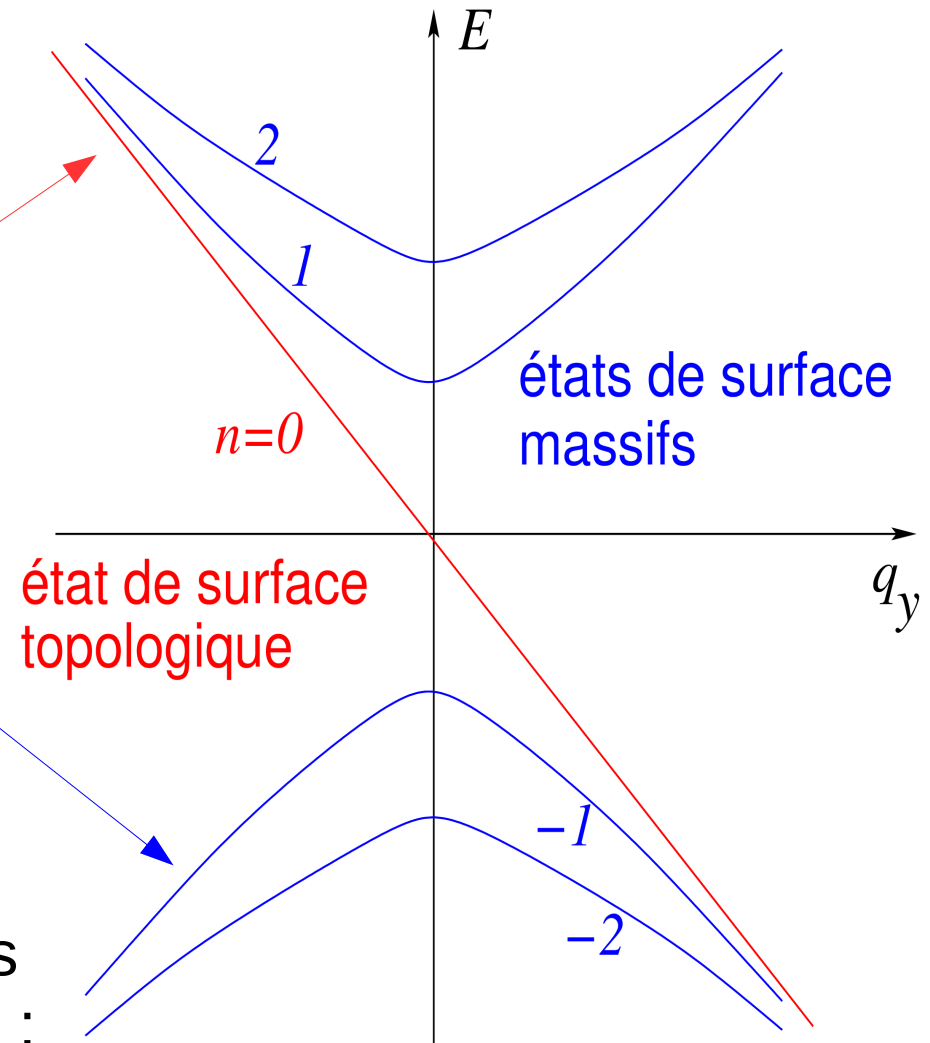
dépendent de la  
modélisation de la  
surface

Condition de visibilité (états en-dessous  
du gap de volume) :

$$E_n = \hbar v \sqrt{2n/\ell \lambda_C} < \Delta_0 \quad \Leftrightarrow \quad 2n < \ell/\lambda_C$$

*chiralité :*

$$v_\xi = \xi v$$

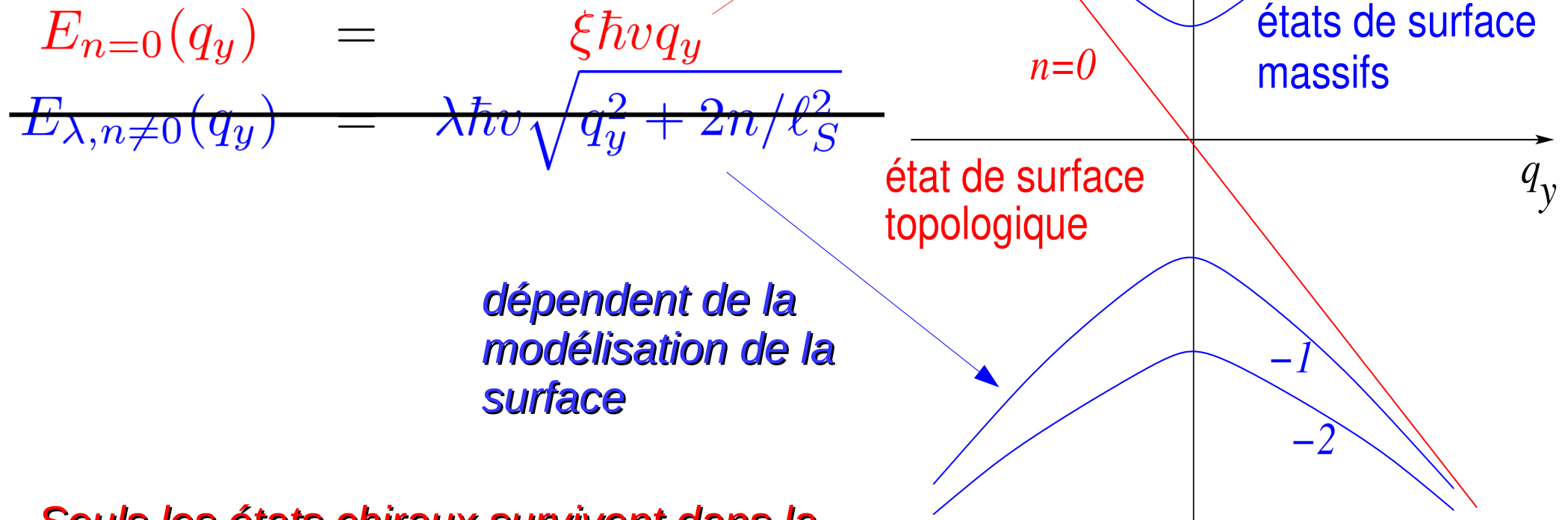


# États de bord

1.6)

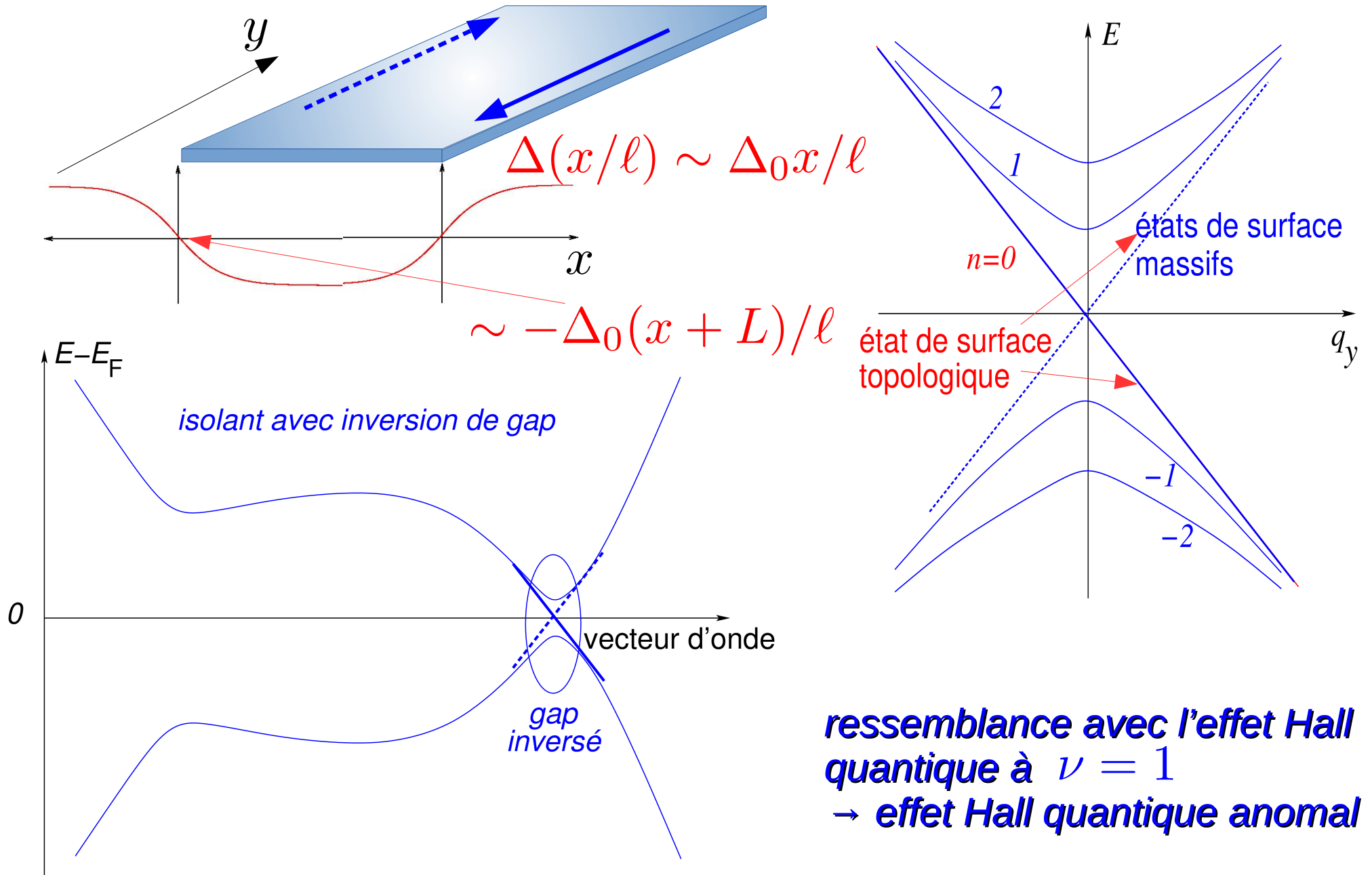
$$E_n = \hbar v \sqrt{2n/\ell \lambda_C} < \Delta_0 \quad \Leftrightarrow \quad 2n < \ell/\lambda_C$$

**limite  $\ell/\lambda_C \rightarrow 0$  (interface/surface abrupte) :**



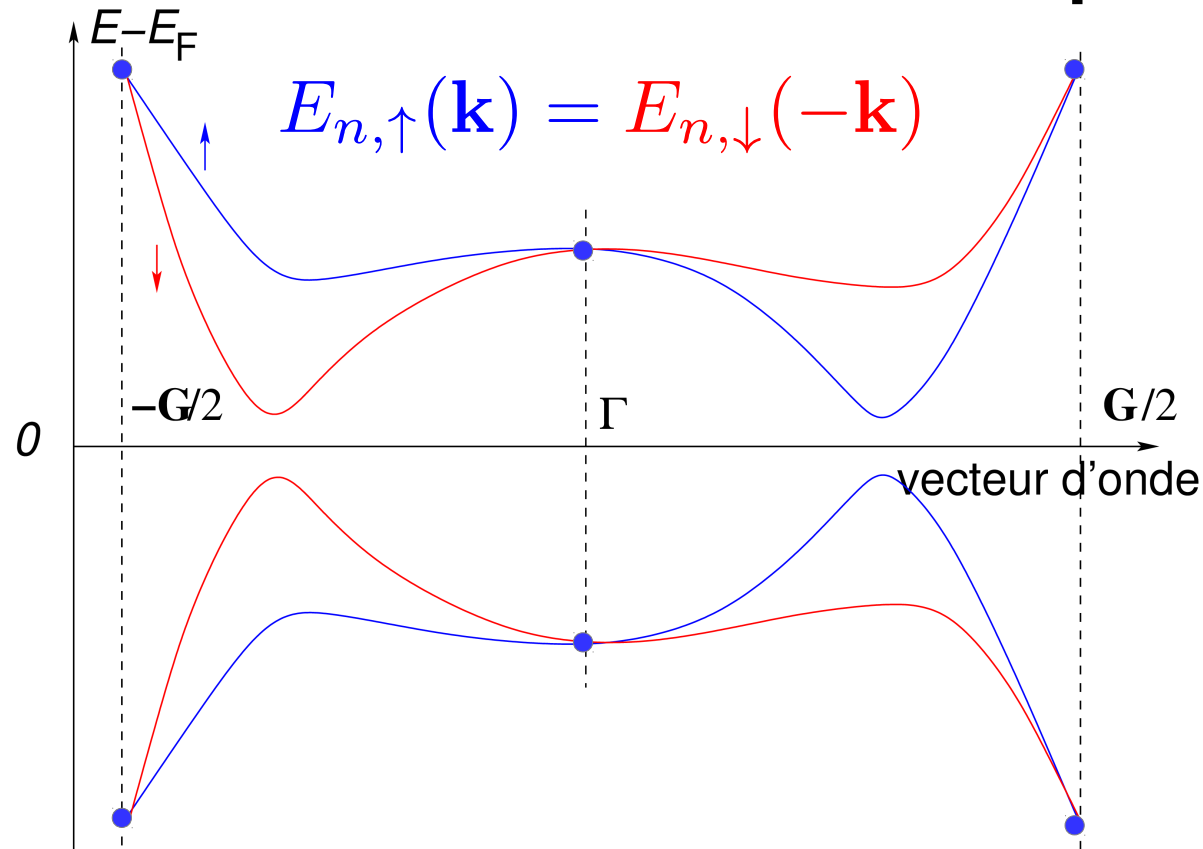
**Seuls les états chiraux survivent dans la limite d'une interface abrupte (états topologiquement protégés).**

# États de bord (chiraux)





# Peut-on avoir un isolant topologique sans briser la symétrie par renversement du temps ?



N.B. : ce type de structure de bande nécessite un ***couplage spin-orbite***

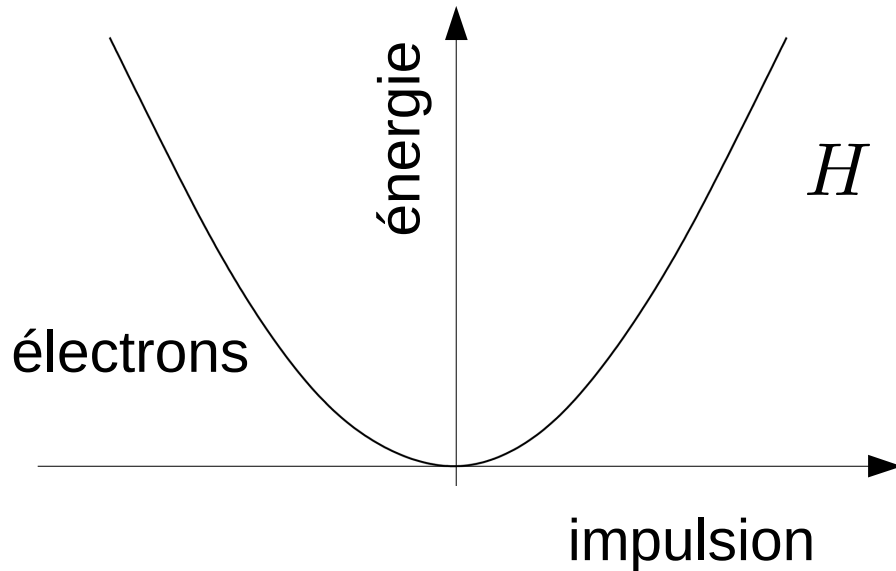
→ modèles de liaisons fortes sans sauts dépendant du temps

$$E_{n,\uparrow}(\mathbf{k}) = E_{n,\downarrow}(\mathbf{k}) = E_{n,\uparrow}(-\mathbf{k}) = E_{n,\downarrow}(-\mathbf{k})$$

# Le couplage spin-orbite

*de Dirac*

Retour à l'introduction du spin dans l'équation ~~de Schrödinger~~ :



$$H = \frac{p^2}{2m} - \frac{\hbar\gamma}{2} \sigma \cdot \mathbf{B} + \lambda_{SO} \sigma \cdot (\mathbf{p} \times \mathbf{E})$$

+ un champ magnétique (effet Zeeman)  
+ un champ électrique (→ spin-orbite)

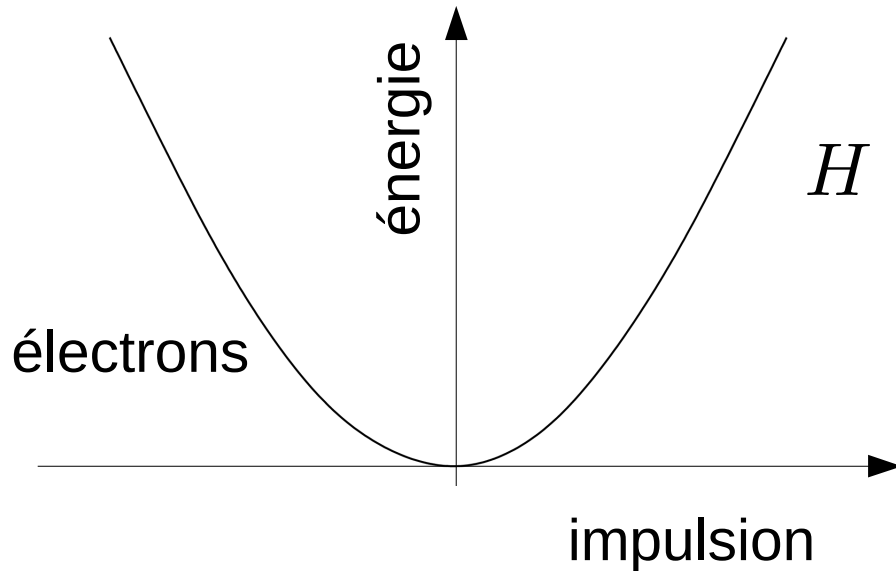
effets dus à la mécanique  
quantique relativiste :

- *équation de Dirac*
- “couplage” entre électrons et positrons dû aux champs

# Le couplage spin-orbite

*de Dirac*

Retour à l'introduction du spin dans l'équation de Schrödinger :

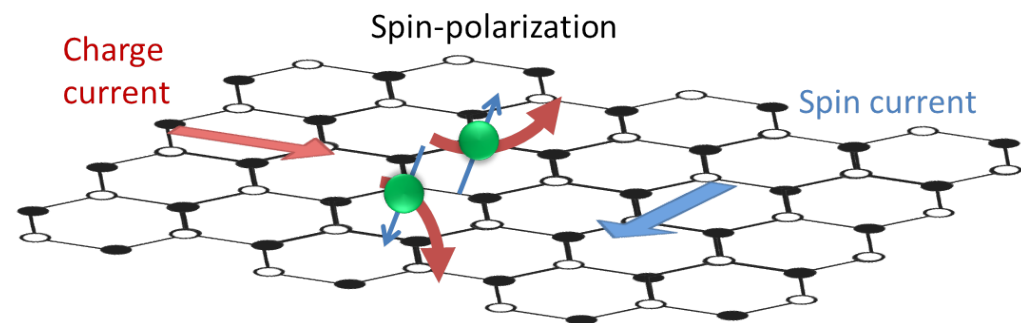
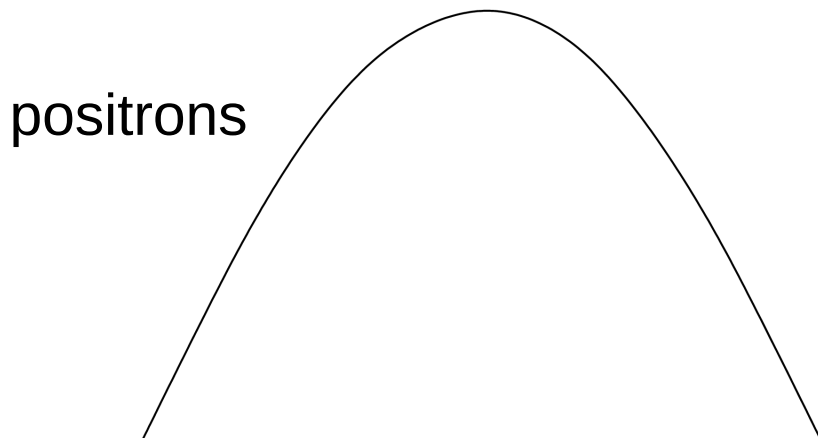


$$H = \frac{p^2}{2m} + \lambda_{SO} \sigma \cdot (\mathbf{p} \times \mathbf{E})$$

+ un champ électrique ( $\rightarrow$  spin-orbite)

$\rightarrow$  nouvelle contribution à la vitesse :

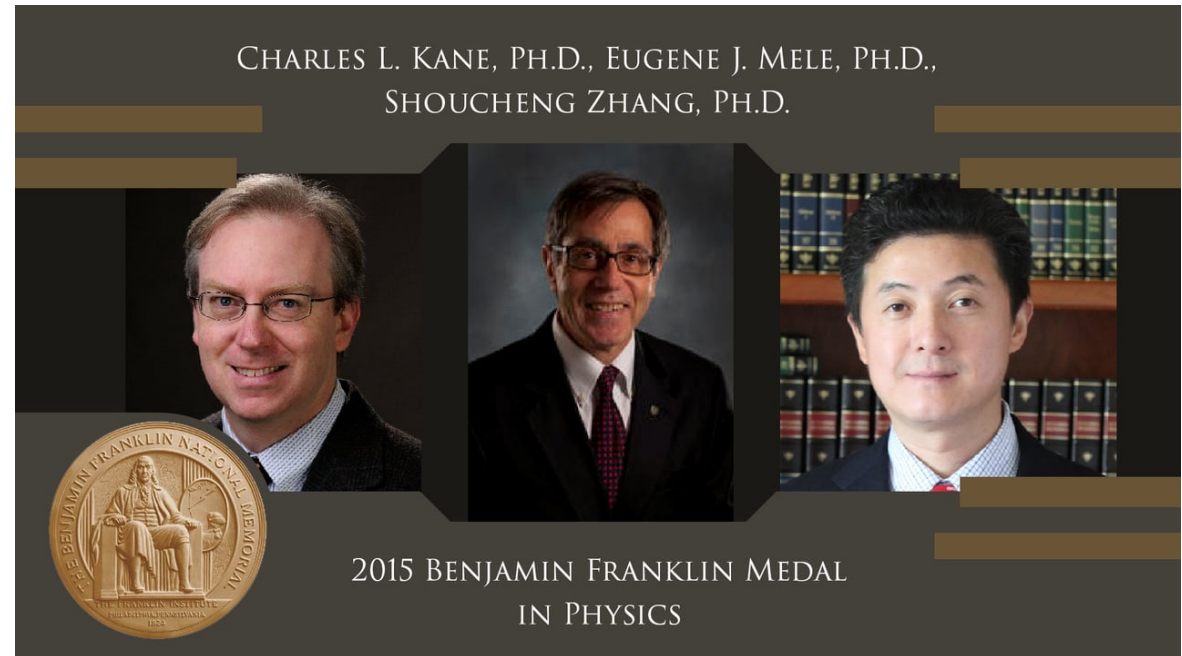
$$\mathbf{v}_\sigma = \nabla_{\mathbf{p}} H = \mathbf{v}(\lambda_{SO} = 0) - \lambda_{SO} \sigma \times \mathbf{E}$$



*effet Hall de spin*

# Isolants avec symétrie par renversement du temps

modèles de  
Kane & Mele  
BHZ (2005/06)



$$H_{4 \times 4} = \begin{pmatrix} H_{\uparrow}(\mathbf{k}) & 0 \\ 0 & H_{\downarrow}(\mathbf{k}) \end{pmatrix}$$

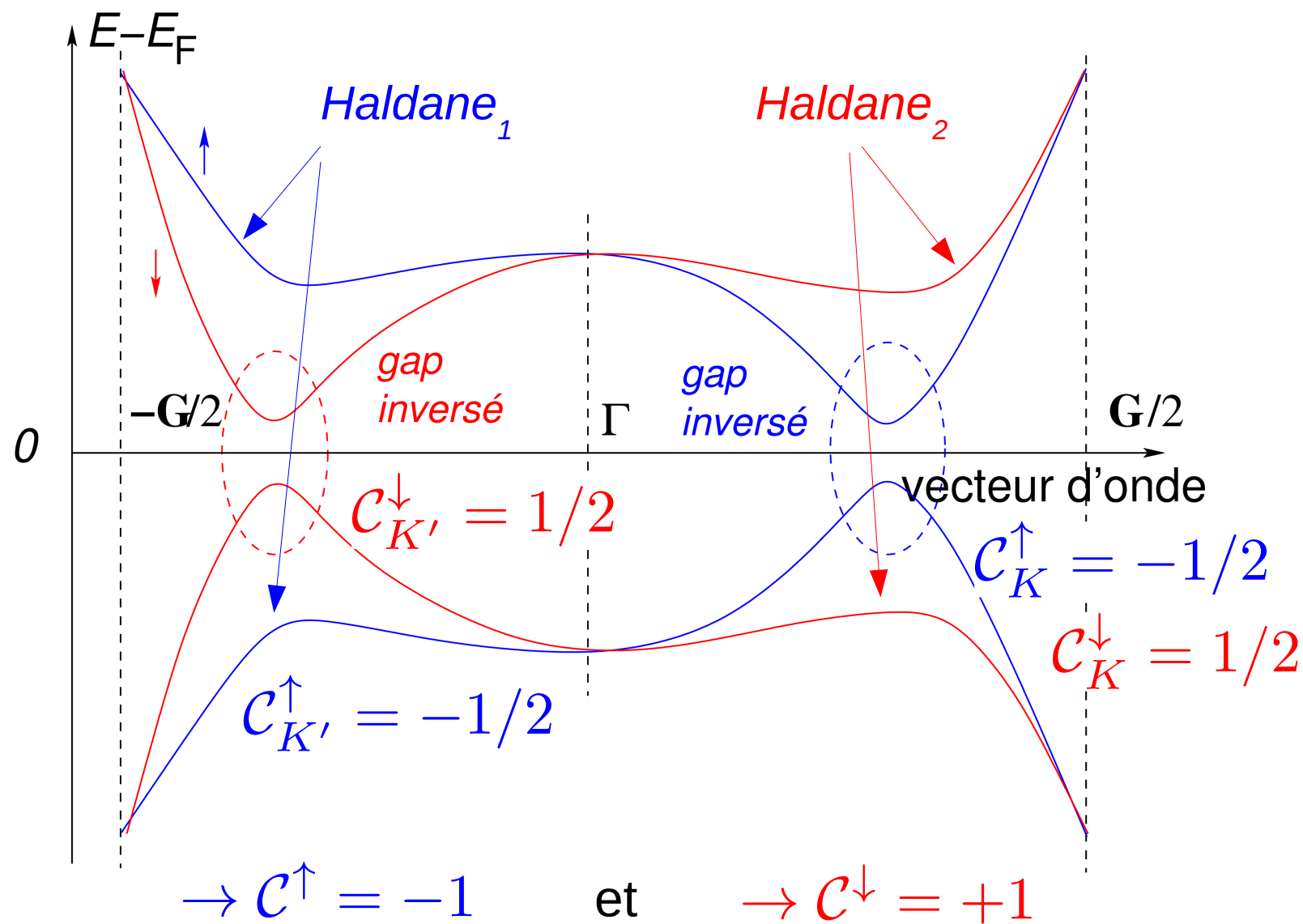
un modèle de Haldane par spin



*pas nécessairement  
spin  $\uparrow$  ou  $\downarrow$ , mais  
indice  $Z_2$   
(paire de Kramers)*

avec  $H_{\downarrow}(\mathbf{k}) = H_{\uparrow}^*(-\mathbf{k})$

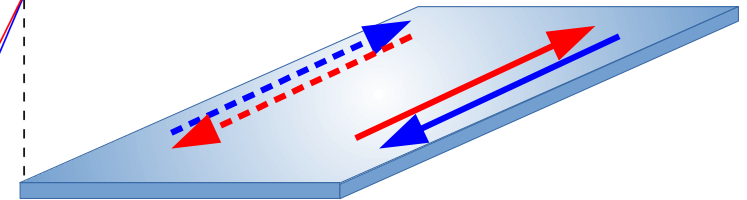
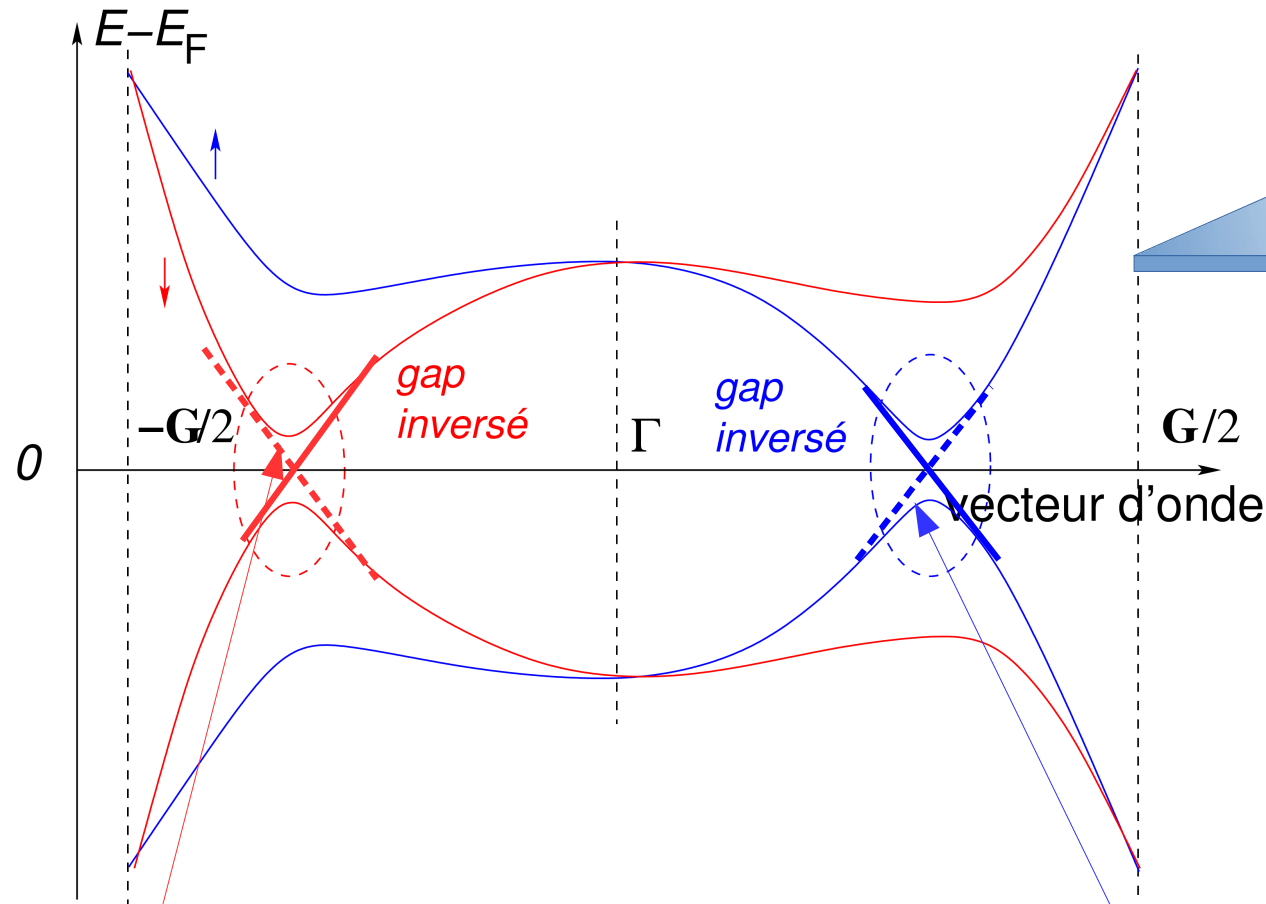
# Modèle de Kane & Mele



nombre de Chern total :  $\mathcal{C} = C^\uparrow + C^\downarrow = 0$  mais  $\mathcal{C}_{\text{spin}} = C^\uparrow - C^\downarrow \neq 0$

# Modèle de Kane & Mele + *bords*

1.7)



→ états de bord  
**hélicaux**  
(direction de  
propagation  
déterminée par  
le spin)

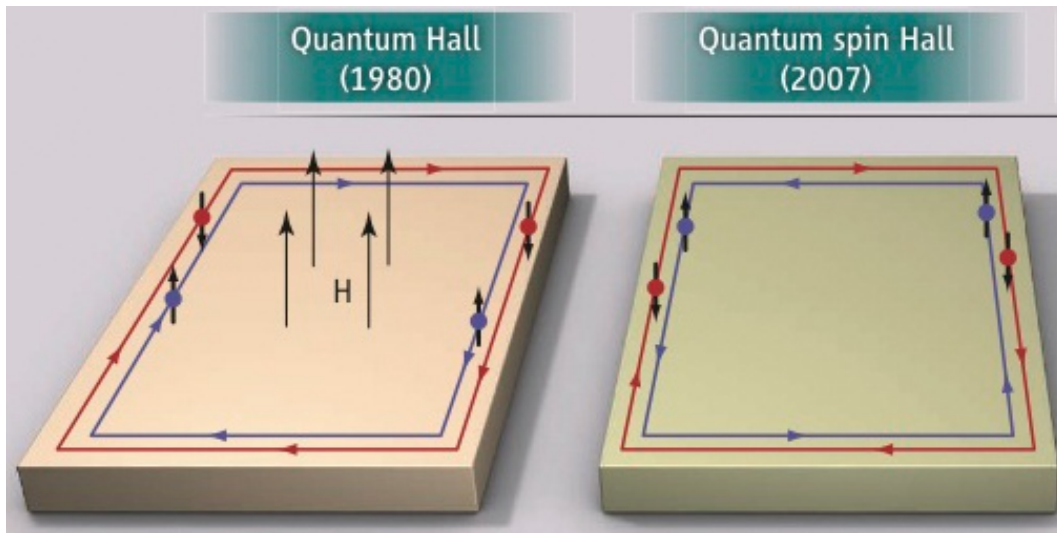
$$H_{\xi=+}^{\downarrow} = \begin{pmatrix} \hbar v q_y & \sqrt{2} \hbar \frac{v}{\ell_S} \hat{a} \\ \sqrt{2} \hbar \frac{v}{\ell_S} \hat{a}^{\dagger} & -\hbar v q_y \end{pmatrix}$$

$$H_{\xi=-}^{\uparrow} = \begin{pmatrix} \hbar v q_y & -\sqrt{2} \hbar \frac{v}{\ell_S} \hat{a}^{\dagger} \\ -\sqrt{2} \hbar \frac{v}{\ell_S} \hat{a} & -\hbar v q_y \end{pmatrix}$$

$$\begin{aligned} E_{n=0,\xi=+}^{\downarrow}(q_y) &= +\hbar v q_y & \text{pour } x &= 0 \\ E_{n=0,\xi=+}^{\downarrow}(q_y) &= -\hbar v q_y & \text{pour } x &= -L \end{aligned}$$

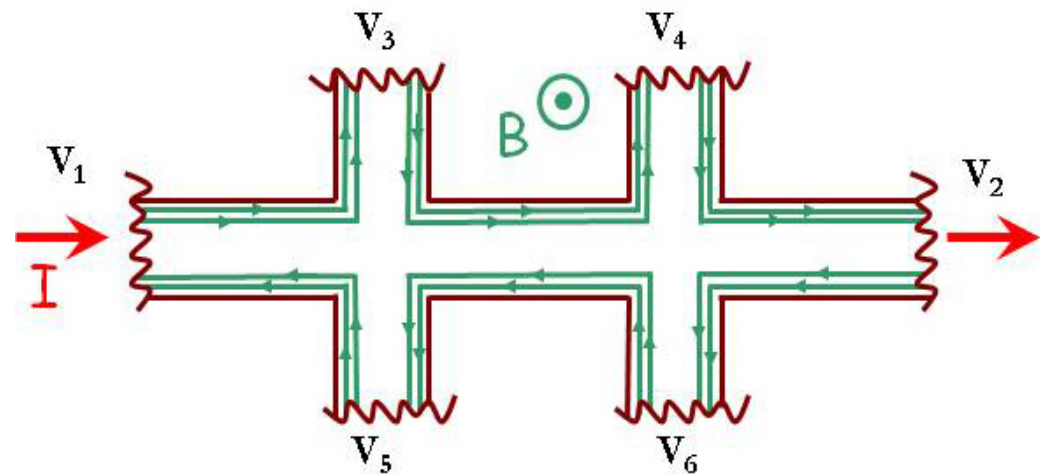
$$\begin{aligned} E_{n=0,\xi=-}^{\uparrow}(q_y) &= -\hbar v q_y & \text{pour } x &= 0 \\ E_{n=0,\xi=-}^{\uparrow}(q_y) &= \hbar v q_y & \text{pour } x &= -L \end{aligned}$$

# Effet Hall quantique de spin (2006/07)

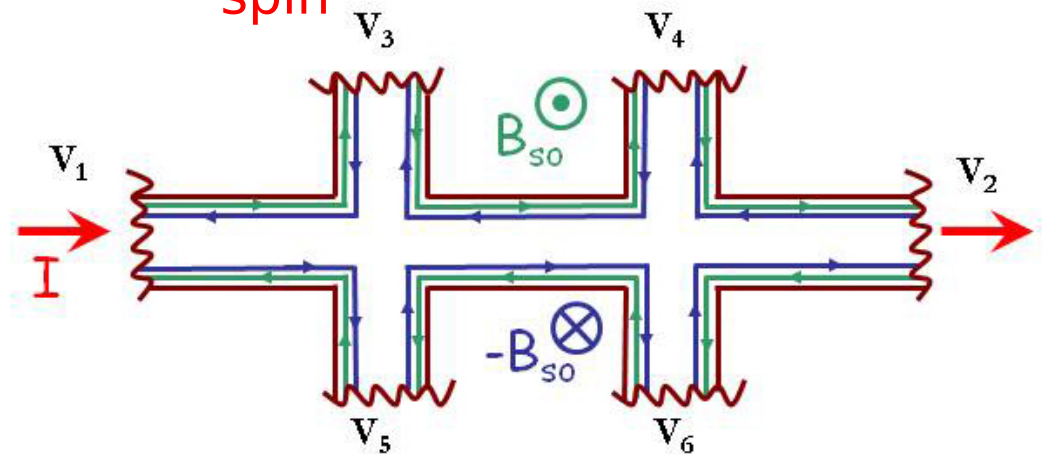


Science, 766, **318**  
(2007),  
groupe exp. de  
Würzburg

# Effet Hall quantique de spin



# Effet Hall quantique

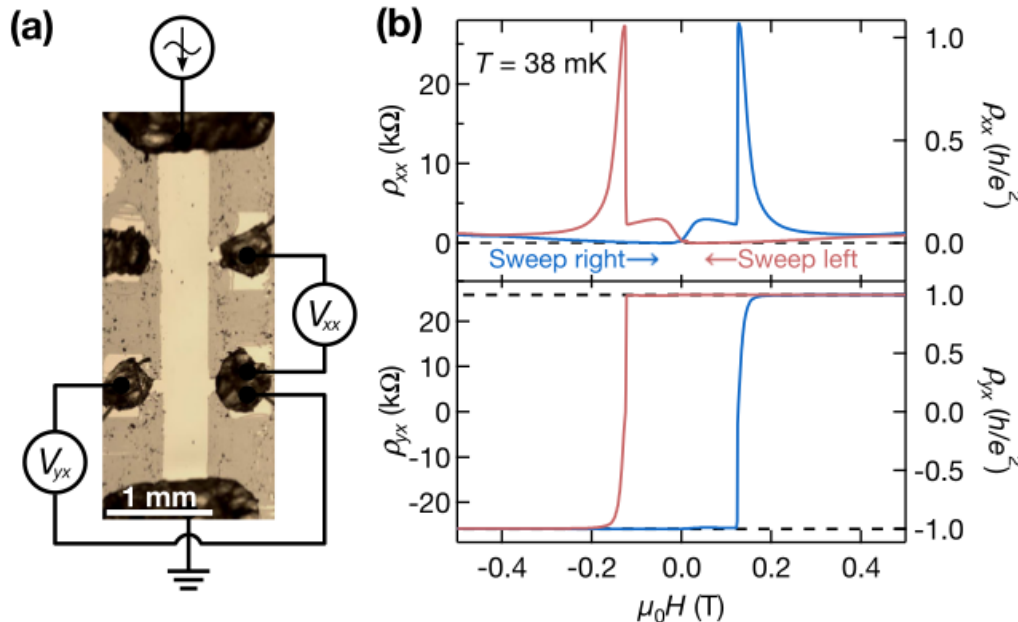


Les états de spin + ou - se déplacent dans des directions opposées

# Effet Hall quantique anomal

## (expérience)

2.1)



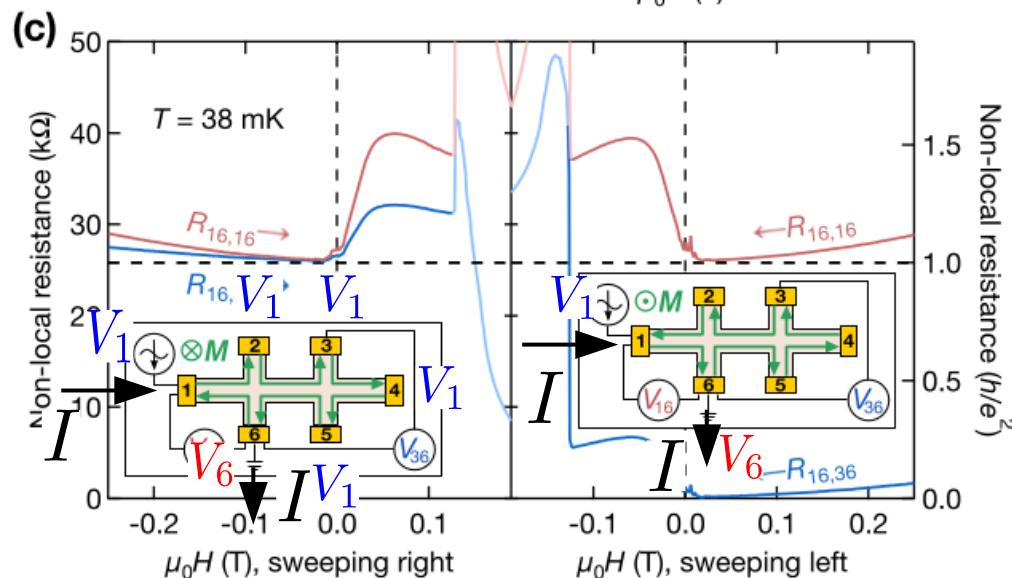
[Bostwick et al., Phys. Rev. Lett. (2015)]

matrices de transmission (sweep right) :

$$\mathcal{T}_+ = \mathcal{T}_{\text{QH}} = \begin{pmatrix} M & 0 & 0 & 0 & 0 & -M \\ -M & M & 0 & 0 & 0 & 0 \\ 0 & -M & M & 0 & 0 & 0 \\ 0 & 0 & -M & M & 0 & 0 \\ 0 & 0 & 0 & -M & M & 0 \\ 0 & 0 & 0 & 0 & -M & M \end{pmatrix}$$

2.2)

→ assigner les potentiels  $V_i$



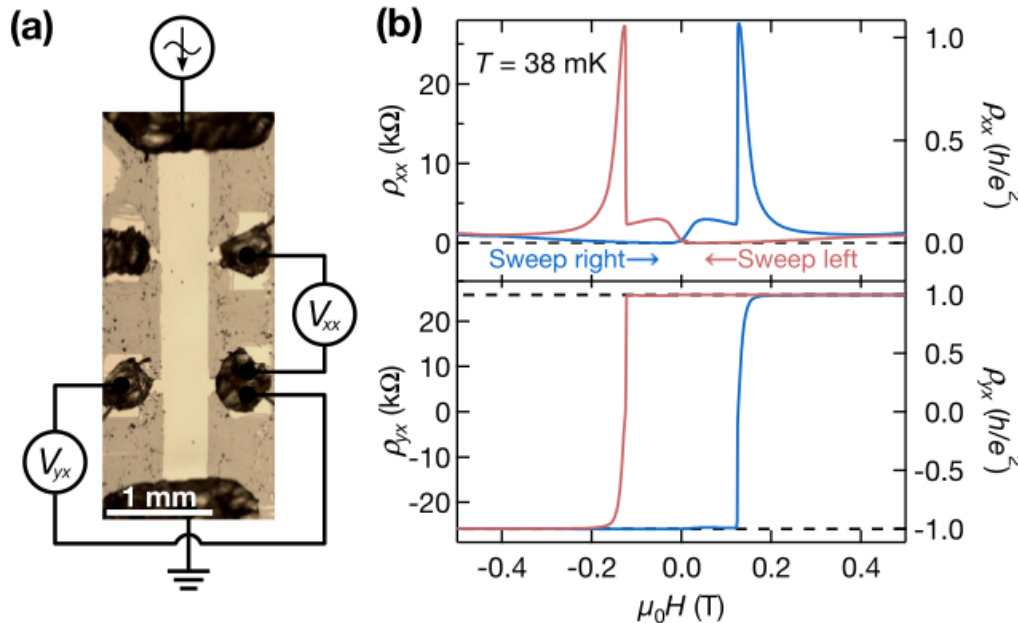
$$\vec{I} = \frac{e^2}{h} \mathcal{T} \vec{V} \quad \text{ici : } M = 1$$



# Effet Hall quantique anomal

## (expérience)

2.1)



[Bostwick et al., Phys. Rev. Lett. (2015)]

matrices de transmission (sweep right) :

$$\mathcal{T}_+ = \mathcal{T}_{\text{QH}} = \begin{pmatrix} M & 0 & 0 & 0 & 0 & -M \\ -M & M & 0 & 0 & 0 & 0 \\ 0 & -M & M & 0 & 0 & 0 \\ 0 & 0 & -M & M & 0 & 0 \\ 0 & 0 & 0 & -M & M & 0 \\ 0 & 0 & 0 & 0 & -M & M \end{pmatrix}$$

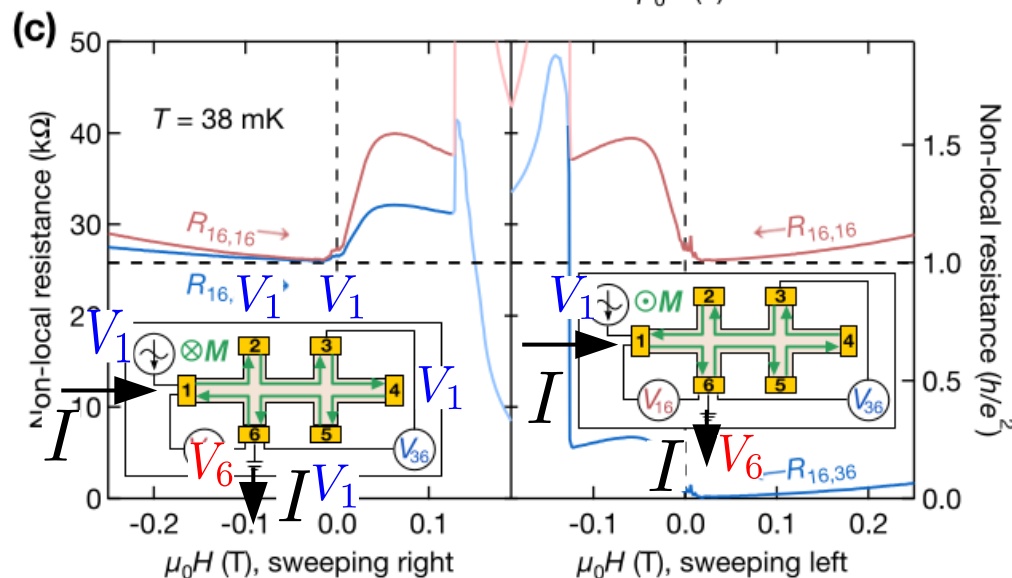
2.2)

→ première ligne de la matrice :

$$I = \frac{e^2}{h} M (V_1 - V_6)$$

$$R_{16,16} = \frac{V_1 - V_6}{I} = \frac{h}{e^2}$$

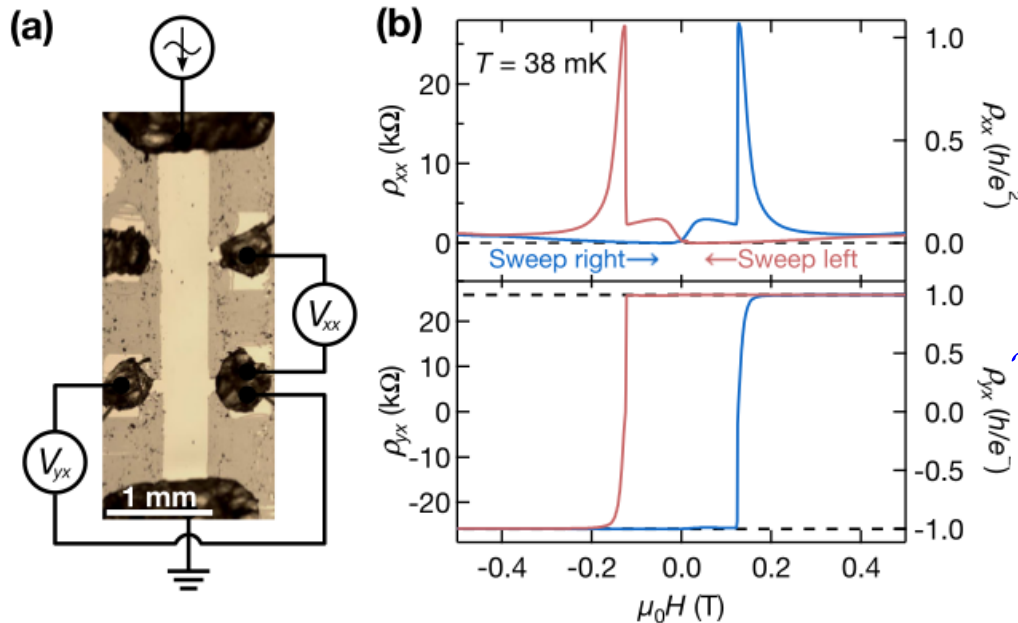
$$R_{16,36} = \frac{V_3 - V_6}{I} = \frac{h}{e^2}$$



# Effet Hall quantique anomal

## (expérience)

2.1)



[Bostwick et al., Phys. Rev. Lett. (2015)]

matrices de transmission (sweep left) :

$$\tau_- = \tau_{\text{QH}}^\dagger = \begin{pmatrix} M & -M & 0 & 0 & 0 & 0 \\ 0 & M & -M & 0 & 0 & 0 \\ 0 & 0 & M & -M & 0 & 0 \\ 0 & 0 & 0 & M & -M & 0 \\ 0 & 0 & 0 & 0 & M & -M \\ -M & 0 & 0 & 0 & 0 & M \end{pmatrix}$$

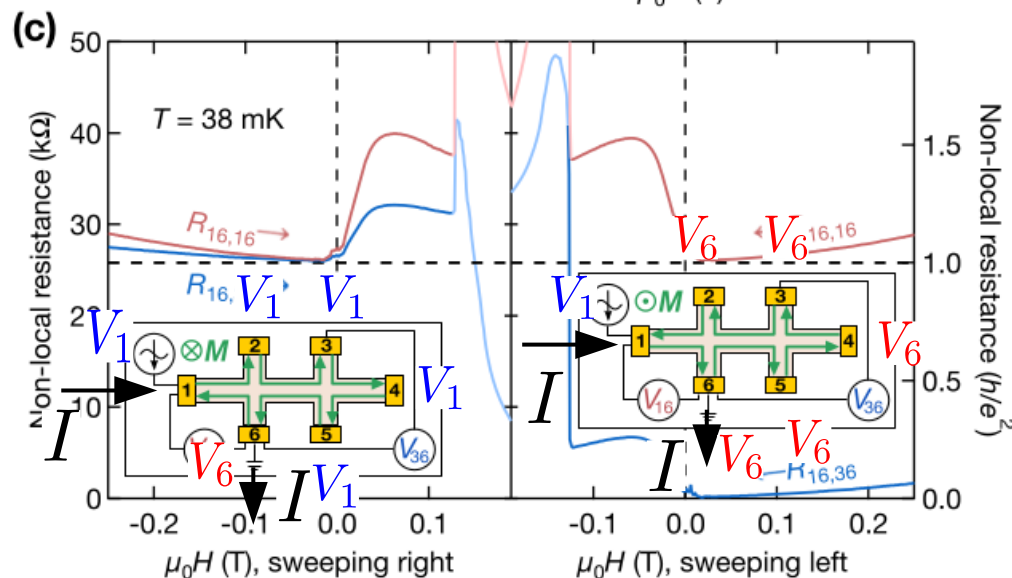
2.2)

→ première ligne de la matrice :

$$I = \frac{e^2}{h} M (V_1 - V_2)$$

$$R_{16,16} = \frac{V_1 - V_6}{I} = \frac{h}{e^2}$$

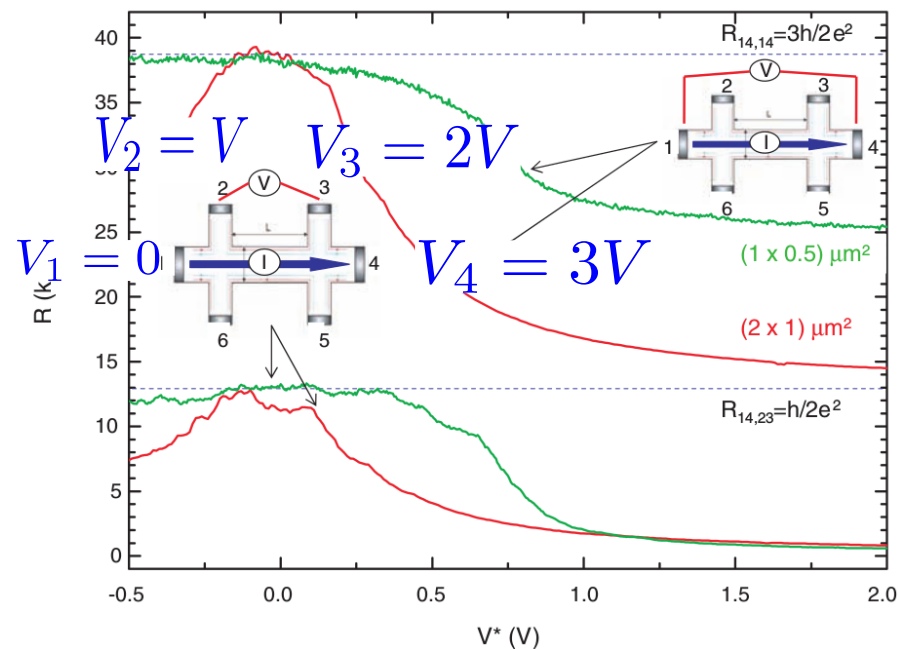
$$R_{16,36} = \frac{V_3 - V_6}{I} = 0$$



# Effet Hall quantique de spin (expérience)

2.3)

[Roth et al., Science (2009)]



matrice de transmission :

$$\mathcal{T} = \mathcal{T}_+ + \mathcal{T}_-$$

$$= \begin{pmatrix} 2 & -1 & 0 & 0 & 0 & -1 \\ -1 & 2 & -1 & 0 & 0 & 0 \\ 0 & -1 & 2 & -1 & 0 & 0 \\ 0 & 0 & -1 & 2 & -1 & 0 \\ 0 & 0 & 0 & -1 & 2 & -1 \\ -1 & 0 & 0 & 0 & -1 & 2 \end{pmatrix}$$

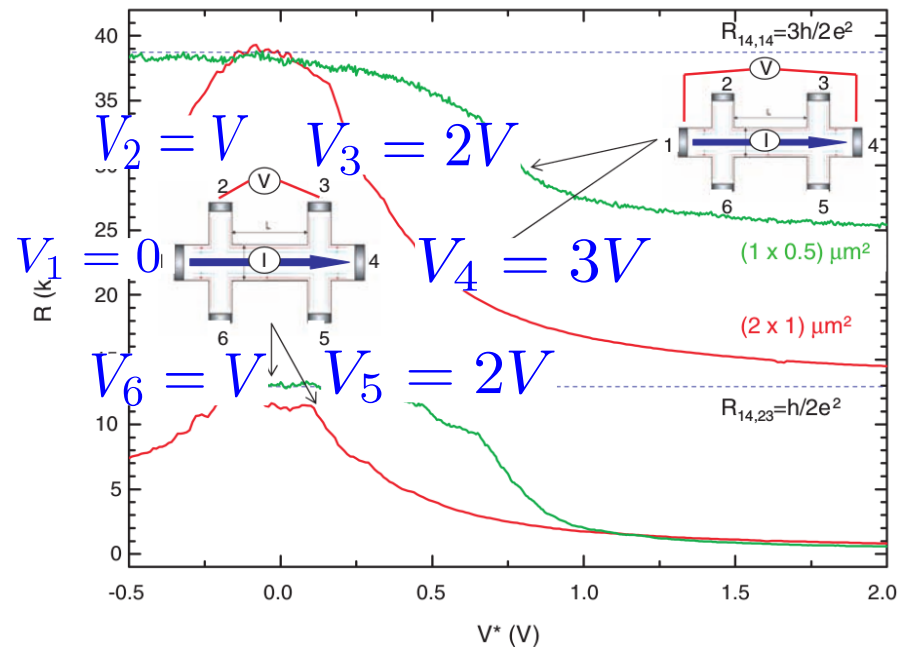
→ assigner les potentiels  $V_i$  (sans courant) :

$$V_2 = \frac{V_1 + V_3}{2} \quad \text{et} \quad V_3 = \frac{V_2 + V_4}{2}$$

# Effet Hall quantique de spin (expérience)

2.3)

[Roth et al., Science (2009)]



matrice de transmission :

$$\mathcal{T} = \mathcal{T}_+ + \mathcal{T}_-$$

$$= \begin{pmatrix} 2 & -1 & 0 & 0 & 0 & -1 \\ -1 & 2 & -1 & 0 & 0 & 0 \\ 0 & -1 & 2 & -1 & 0 & 0 \\ 0 & 0 & -1 & 2 & -1 & 0 \\ 0 & 0 & 0 & -1 & 2 & -1 \\ -1 & 0 & 0 & 0 & -1 & 2 \end{pmatrix}$$

→ bilan dans le contact 1 :

$$I = \frac{e^2}{h} (2V_1 - V_2 - V_6) = -2 \frac{e^2}{h} V \quad \Rightarrow \quad \frac{V}{I} = -\frac{h}{2e^2}$$

$$R_{14,14} = -\frac{3V}{I} = \frac{3}{2} \frac{h}{e^2}$$

$$R_{14,23} = -\frac{V}{I} = \frac{1}{2} \frac{h}{e^2}$$